

Vincere e (non) perdere con la Matematica

Nicola Parolini



Dipartimento di Matematica
Politecnico di Milano

Giornata di Studio

La Matematica Applicata per una Buona Scuola

Roma - 23 Febbraio 2015

- un interessante binomio per fare **ricerca**

- un interessante binomio per fare **ricerca**
- un campo da gioco stimolante su cui fare **innovazione**

- un interessante binomio per fare **ricerca**
- un campo da gioco stimolante su cui fare **innovazione**
- uno strumento molto efficace per fare **divulgazione**

- un interessante binomio per fare **ricerca**
- un campo da gioco stimolante su cui fare **innovazione**
- uno strumento molto efficace per fare **divulgazione**

Modelli matematici e numerici applicati a ...

- un interessante binomio per fare **ricerca**
- un campo da gioco stimolante su cui fare **innovazione**
- uno strumento molto efficace per fare **divulgazione**

Modelli matematici e numerici applicati a ...



Vela

- un interessante binomio per fare **ricerca**
- un campo da gioco stimolante su cui fare **innovazione**
- uno strumento molto efficace per fare **divulgazione**

Modelli matematici e numerici applicati a ...



Vela



Canottaggio

- un interessante binomio per fare **ricerca**
- un campo da gioco stimolante su cui fare **innovazione**
- uno strumento molto efficace per fare **divulgazione**

Modelli matematici e numerici applicati a ...



Vela



Canottaggio



Nuoto

Da dove cominciamo ...

Da dove cominciamo ... dal golf

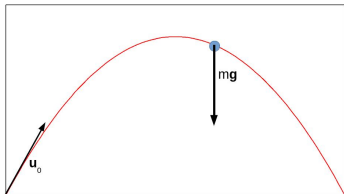


Quale **matematica** serve per calcolare la traiettoria di una palla da golf lanciata con velocità iniziale \mathbf{u}_0 ?

Da dove cominciamo ... dal golf



Quale **matematica** serve per calcolare la traiettoria di una palla da golf lanciata con velocità iniziale \mathbf{u}_0 ?



Senza forze aerodinamiche

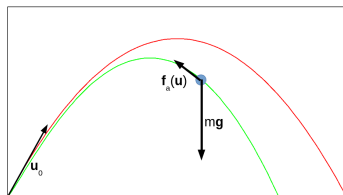
$$\mathbf{x}(t) = \mathbf{u}_0 t - \frac{1}{2} \mathbf{g} t^2$$

(relazione algebrica)

Da dove cominciamo ... dal golf



Quale **matematica** serve per calcolare la traiettoria di una palla da golf lanciata con velocità iniziale \mathbf{u}_0 ?



Con forze aerodinamiche

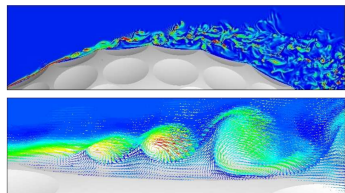
$$m\ddot{\mathbf{x}}(t) = m\mathbf{g} + \mathbf{f}_a = m\mathbf{g} + \frac{1}{2}\rho\dot{\mathbf{x}}^2 C_d S$$

(equazione differenziale ordinaria)

Da dove cominciamo ... dal golf



Quale **matematica** serve per calcolare la traiettoria di una palla da golf lanciata con velocità iniziale \mathbf{u}_0 ?

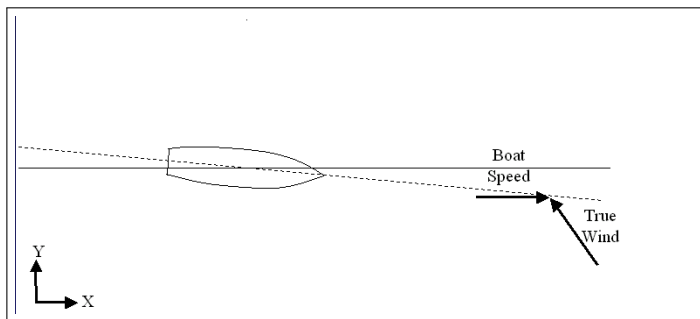


Smith et al, *Int. J. of Heat and Fluid Flow* 31, 262-273 (2012)

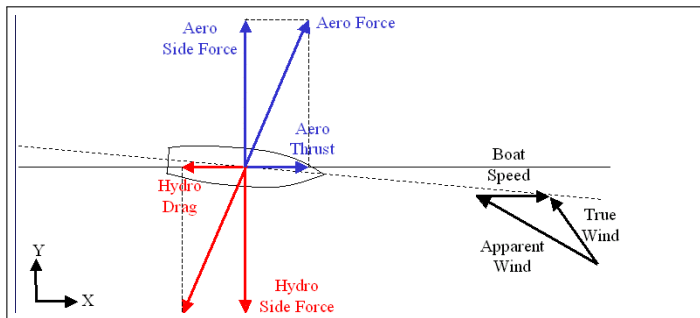
Simulazione numerica del flusso

$$\begin{aligned}\partial_t \mathbf{u} + (\mathbf{u} \cdot \nabla) \mathbf{u} - \nabla \cdot \mathbf{T}(\mathbf{u}, p) &= \mathbf{f}, \\ \nabla \cdot \mathbf{u} &= 0,\end{aligned}$$

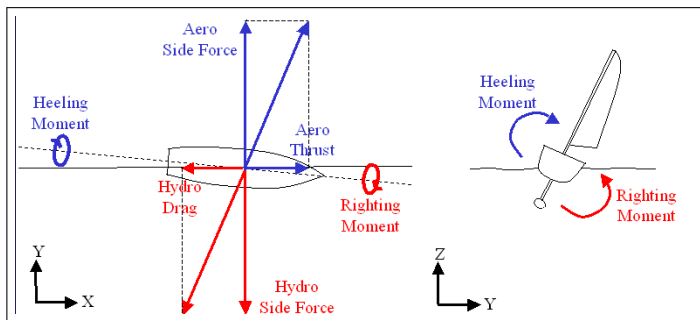
(equazioni alle derivate parziali)

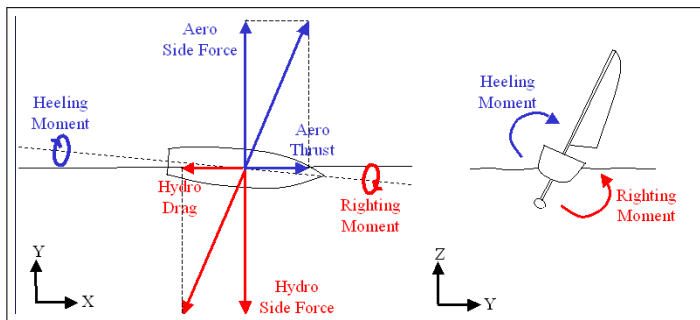


Matematica e Vela



Matematica e Vela

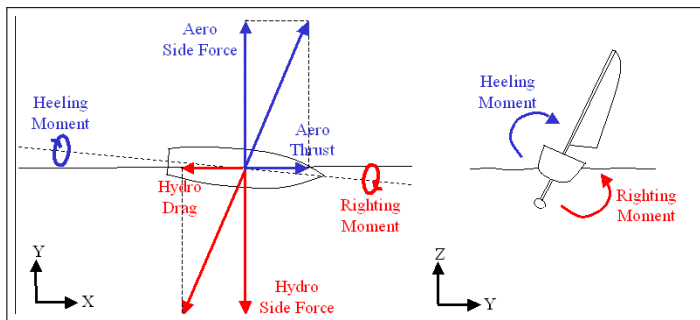




Equilibrio

Per ogni configurazione, il VPP calcola la velocità V e l'assetto A associato allo stato di equilibrio delle forze (ODE):

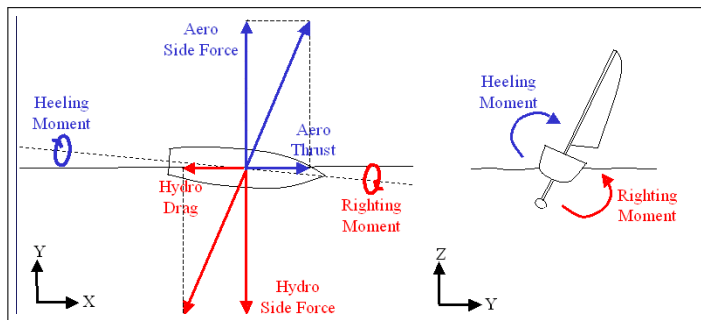
$$\begin{cases} M a_x = T_a(V, A) - D_h(V, A) \\ M a_y = S_a(V, A) - S_h(V, A) \\ I \Omega_H = M_H(V, A) - M_R(V, A) \end{cases}$$



Equilibrio

Per ogni configurazione, il VPP calcola la velocità V e l'assetto A associato allo stato di equilibrio delle forze (ODE):

$$\begin{cases} M a_x = T_a(V, A) - D_h(V, A) \\ M a_y = S_a(V, A) - S_h(V, A) \\ I \Omega_H = M_H(V, A) - M_R(V, A) \end{cases} \rightarrow \begin{cases} T_a = D_h \\ S_a = S_h \\ M_H = M_R \end{cases}$$



Equilibrio

Per ogni configurazione, il VPP calcola la velocità V e l'assetto A associato allo stato di equilibrio delle forze (ODE):

$$\begin{cases} M a_x = T_a(V, A) - D_h(V, A) \\ M a_y = S_a(V, A) - S_h(V, A) \\ I \Omega_H = M_H(V, A) - M_R(V, A) \end{cases} \rightarrow \begin{cases} T_a = D_h \\ S_a = S_h \\ M_H = M_R \end{cases} \rightarrow V_{Eq}, A_{Eq}$$

Come stimare le forze in gioco

Come stimare le forze in gioco

Vasca navale

Resistenza sullo scafo



Come stimare le forze in gioco

Vasca navale

Resistenza sullo scafo

Galleria del vento

Forze su vele e appendici



Come stimare le forze in gioco

Vasca navale

Resistenza sullo scafo

Galleria del vento

Forze su vele e appendici

Test in mare

Misure a scala reale



AL 2007 © The Race Group, VALENCIA, SPAIN - 05 April 2005.
Team Alinghi (USA) testing in Valencia (Spain) SU2/G4 and SU4 T1 sailing in Valencia bay.

Come stimare le forze in gioco

Vasca navale

Resistenza sullo scafo

Galleria del vento

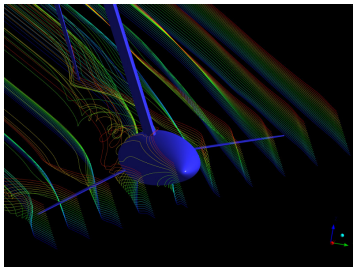
Forze su vele e appendici

Simulazioni CFD

Forze e visualizzazioni

Test in mare

Misure a scala reale



Come stimare le forze in gioco

Vasca navale

Resistenza sullo scafo

Galleria del vento

Forze su vele e appendici

Simulazioni CFD

Forze e visualizzazioni

Test in mare

Misure a scala reale

Per ogni possibile configurazione di progetto:

- Simulazioni e misure sperimentali in un numero limitato di velocità e assetti $F(V_i, A_j)$;
- Regressione dei dati sul range di parametri $F(V, A)$,
($V_{\min} < V < V_{\max}$, $A_{\min} < A < A_{\max}$);
- Calcolo delle prestazioni V_{Eq}, A_{Eq} con il Velocity Prediction Program (VPP).

Come stimare le forze in gioco

Vasca navale

Resistenza sullo scafo

Galleria del vento

Forze su vele e appendici

VPP

Simulazioni CFD

Forze e visualizzazioni

Test in mare

Misure a scala reale

Per ogni possibile configurazione di progetto:

- Simulazioni e misure sperimentali in un numero limitato di velocità e assetti $F(V_i, A_j)$;
- Regressione dei dati sul range di parametri $F(V, A)$,
($V_{\min} < V < V_{\max}$, $A_{\min} < A < A_{\max}$);
- Calcolo delle prestazioni V_{Eq}, A_{Eq} con il Velocity Prediction Program (VPP).

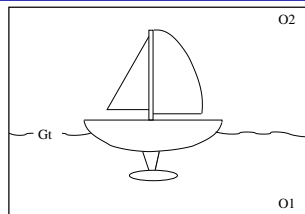
Un modello matematico complesso (PDE)

Un modello matematico complesso (PDE)

Equazioni di Navier–Stokes

$$\begin{aligned}\rho_i \partial_t \mathbf{u}_i + \rho_i (\mathbf{u}_i \cdot \nabla) \mathbf{u}_i - \nabla \cdot \mathbf{T}_i(\mathbf{u}_i, p_i) &= \rho_i \mathbf{g}, & \text{in } \Omega_i \\ \nabla \cdot \mathbf{u}_i &= 0,\end{aligned}$$

with $\mathbf{T}_i(\mathbf{u}_i, p_i) = (\mu_i + \mu_{t_i})(\nabla \mathbf{u}_i + \nabla \mathbf{u}_i^T) - p_i \mathbf{l}$.



Un modello matematico complesso (PDE)

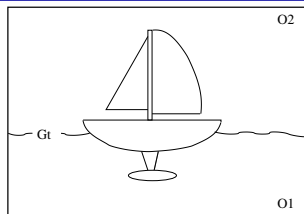
Equazioni di Navier–Stokes

$$\begin{aligned}\rho_i \partial_t \mathbf{u}_i + \rho_i (\mathbf{u}_i \cdot \nabla) \mathbf{u}_i - \nabla \cdot \mathbf{T}_i(\mathbf{u}_i, p_i) &= \rho_i \mathbf{g}, & \text{in } \Omega_i \\ \nabla \cdot \mathbf{u}_i &= 0,\end{aligned}$$

with $\mathbf{T}_i(\mathbf{u}_i, p_i) = (\mu_i + \mu_{t_i})(\nabla \mathbf{u}_i + \nabla \mathbf{u}_i^T) - p_i \mathbf{l}$.

Condizioni di interfaccia

$$\begin{aligned}\mathbf{u}_1 &= \mathbf{u}_2, & \text{on } \Gamma, \\ \mathbf{T}_1 \cdot \mathbf{n} &= \mathbf{T}_2 \cdot \mathbf{n} + \kappa \sigma \mathbf{n} & \text{on } \Gamma.\end{aligned}$$

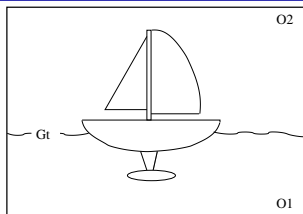


Un modello matematico complesso (PDE)

Equazioni di Navier–Stokes

$$\begin{aligned}\rho_i \partial_t \mathbf{u}_i + \rho_i (\mathbf{u}_i \cdot \nabla) \mathbf{u}_i - \nabla \cdot \mathbf{T}_i(\mathbf{u}_i, p_i) &= \rho_i \mathbf{g}, & \text{in } \Omega_i \\ \nabla \cdot \mathbf{u}_i &= 0,\end{aligned}$$

with $\mathbf{T}_i(\mathbf{u}_i, p_i) = (\mu_i + \mu_{t_i})(\nabla \mathbf{u}_i + \nabla \mathbf{u}_i^T) - p_i \mathbf{l}$.



Condizioni di interfaccia

$$\begin{aligned}\mathbf{u}_1 &= \mathbf{u}_2, & \text{on } \Gamma, \\ \mathbf{T}_1 \cdot \mathbf{n} &= \mathbf{T}_2 \cdot \mathbf{n} + \kappa \sigma \mathbf{n} & \text{on } \Gamma.\end{aligned}$$

Formulazione ad un fluido

$$\begin{aligned}\partial_t \rho + \mathbf{u} \cdot \nabla \rho &= 0, \\ \rho \partial_t \mathbf{u} + \rho (\mathbf{u} \cdot \nabla) \mathbf{u} - \nabla \cdot \mathbf{T}(\mathbf{u}, p) &= \rho \mathbf{g} + \mathbf{f}_\Gamma, & \text{in } \Omega \\ \nabla \cdot \mathbf{u} &= 0,\end{aligned}$$

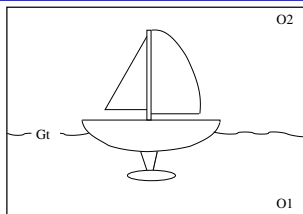
with $\mathbf{T}(\mathbf{u}, p) = (\mu + \mu_t)(\nabla \mathbf{u} + \nabla \mathbf{u}^T) - p \mathbf{l}$.

Un modello matematico complesso (PDE)

Equazioni di Navier–Stokes

$$\begin{aligned}\rho_i \partial_t \mathbf{u}_i + \rho_i (\mathbf{u}_i \cdot \nabla) \mathbf{u}_i - \nabla \cdot \mathbf{T}_i(\mathbf{u}_i, p_i) &= \rho_i \mathbf{g}, & \text{in } \Omega_i \\ \nabla \cdot \mathbf{u}_i &= 0,\end{aligned}$$

with $\mathbf{T}_i(\mathbf{u}_i, p_i) = (\mu_i + \mu_{t_i})(\nabla \mathbf{u}_i + \nabla \mathbf{u}_i^T) - p_i \mathbf{l}$.



Condizioni di interfaccia

$$\begin{aligned}\mathbf{u}_1 &= \mathbf{u}_2, & \text{on } \Gamma, \\ \mathbf{T}_1 \cdot \mathbf{n} &= \mathbf{T}_2 \cdot \mathbf{n} + \kappa \sigma \mathbf{n} & \text{on } \Gamma.\end{aligned}$$

Formulazione ad un fluido

$$\begin{aligned}\partial_t \rho + \mathbf{u} \cdot \nabla \rho &= 0, \\ \rho \partial_t \mathbf{u} + \rho (\mathbf{u} \cdot \nabla) \mathbf{u} - \nabla \cdot \mathbf{T}(\mathbf{u}, p) &= \rho \mathbf{g} + \mathbf{f}_\Gamma, & \text{in } \Omega \\ \nabla \cdot \mathbf{u} &= 0,\end{aligned}$$

with $\mathbf{T}(\mathbf{u}, p) = (\mu + \mu_t)(\nabla \mathbf{u} + \nabla \mathbf{u}^T) - p \mathbf{l}$.

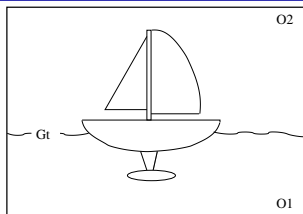
- $\rho = \rho(\mathbf{x})$
 $\mu = \mu(\mathbf{x})$

Un modello matematico complesso (PDE)

Equazioni di Navier–Stokes

$$\begin{aligned}\rho_i \partial_t \mathbf{u}_i + \rho_i (\mathbf{u}_i \cdot \nabla) \mathbf{u}_i - \nabla \cdot \mathbf{T}_i(\mathbf{u}_i, p_i) &= \rho_i \mathbf{g}, & \text{in } \Omega_i \\ \nabla \cdot \mathbf{u}_i &= 0,\end{aligned}$$

with $\mathbf{T}_i(\mathbf{u}_i, p_i) = (\mu_i + \mu_{t_i})(\nabla \mathbf{u}_i + \nabla \mathbf{u}_i^T) - p_i \mathbf{l}$.



Condizioni di interfaccia

$$\begin{aligned}\mathbf{u}_1 &= \mathbf{u}_2, & \text{on } \Gamma, \\ \mathbf{T}_1 \cdot \mathbf{n} &= \mathbf{T}_2 \cdot \mathbf{n} + \kappa \sigma \mathbf{n} & \text{on } \Gamma.\end{aligned}$$

Formulazione ad un fluido

$$\begin{aligned}\partial_t \rho + \mathbf{u} \cdot \nabla \rho &= 0, \\ \rho \partial_t \mathbf{u} + \rho (\mathbf{u} \cdot \nabla) \mathbf{u} - \nabla \cdot \mathbf{T}(\mathbf{u}, p) &= \rho \mathbf{g} + \mathbf{f}_\Gamma, & \text{in } \Omega \\ \nabla \cdot \mathbf{u} &= 0,\end{aligned}$$

with $\mathbf{T}(\mathbf{u}, p) = (\mu + \mu_t)(\nabla \mathbf{u} + \nabla \mathbf{u}^T) - p \mathbf{l}$.

- $\rho = \rho(\mathbf{x})$
- $\mu = \mu(\mathbf{x})$
- $\mathbf{f}_\Gamma = \kappa \sigma \delta_\Gamma \mathbf{n}$

Discretizzazione e griglie di calcolo

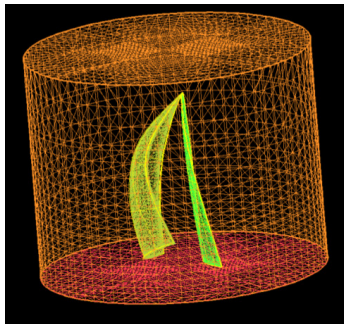
- Equazioni differenziali non risolvibili analiticamente

Discretizzazione e griglie di calcolo

- Equazioni differenziali non risolvibili analiticamente
- Discretizzazione del problema (dal continuo al discreto)

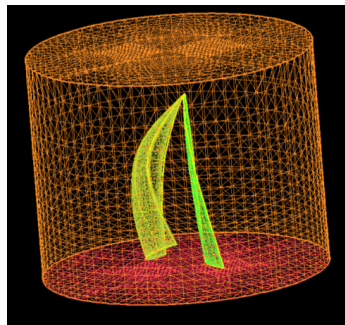
Discretizzazione e griglie di calcolo

- Equazioni differenziali non risolvibili analiticamente
- Discretizzazione del problema (dal continuo al discreto)
- Decomposizione del dominio fisico in una **griglia computazionale**



Discretizzazione e griglie di calcolo

- Equazioni differenziali non risolubili analiticamente
- Discretizzazione del problema (dal continuo al discreto)
- Decomposizione del dominio fisico in una **griglia computazionale**
- La soluzione del problema discretizzato è il valore dell'incognite (velocità, pressione, ...) in un numero finito (ma grande) di punti e di istanti temporali



$$\mathbf{u}(\mathbf{x}, t) \longrightarrow \mathbf{u}(\mathbf{x}_i, t^n)$$

$$\frac{\partial \mathbf{u}}{\partial t}(\mathbf{x}, t) \longrightarrow \frac{\mathbf{u}(\mathbf{x}_i, t^{n+1}) - \mathbf{u}(\mathbf{x}_i, t^n)}{dt}$$

$$\frac{\partial \mathbf{u}}{\partial x}(\mathbf{x}, t) \longrightarrow \frac{p(\mathbf{x}_i + \mathbf{dx}, t^n) - p(\mathbf{x}_i - \mathbf{dx}, t^n)}{2dx}$$

Problema discreto

- Il problema è sempre ricondotto a un sistema lineare

- Il problema è sempre ricondotto a un **sistema lineare**

Esempio di sistema lineare: trovare x_1 e x_2 tali che

$$\begin{cases} -x_1 + 2x_2 = 0 \\ 2x_1 - 3x_2 = 1 \end{cases} \quad 2 \text{ equazioni e } 2 \text{ incognite}$$

- Il problema è sempre ricondotto a un **sistema lineare**

Esempio di sistema lineare: trovare x_1 e x_2 tali che

$$\begin{cases} -x_1 + 2x_2 = 0 \\ 2x_1 - 3x_2 = 1 \end{cases} \quad 2 \text{ equazioni e } 2 \text{ incognite}$$

Soluzione:

- Il problema è sempre ricondotto a un **sistema lineare**

Esempio di sistema lineare: trovare x_1 e x_2 tali che

$$\begin{cases} -x_1 + 2x_2 = 0 \\ 2x_1 - 3x_2 = 1 \end{cases} \quad 2 \text{ equazioni e } 2 \text{ incognite}$$

Soluzione: isolo x_1 nella prima equazione

$$x_1 = 2x_2$$

- Il problema è sempre ricondotto a un **sistema lineare**

Esempio di sistema lineare: trovare x_1 e x_2 tali che

$$\begin{cases} -x_1 + 2x_2 = 0 \\ 2x_1 - 3x_2 = 1 \end{cases} \quad \text{2 equazioni e 2 incognite}$$

Soluzione: isolo x_1 nella prima equazione e sostituisco nella seconda

$$x_1 = 2x_2$$

$$2(2x_2) - 3x_2 = 1$$

- Il problema è sempre ricondotto a un **sistema lineare**

Esempio di sistema lineare: trovare x_1 e x_2 tali che

$$\begin{cases} -x_1 + 2x_2 = 0 \\ 2x_1 - 3x_2 = 1 \end{cases} \quad 2 \text{ equazioni e } 2 \text{ incognite}$$

Soluzione: isolo x_1 nella prima equazione e sostituisco nella seconda

$$x_1 = 2x_2$$

$$2(2x_2) - 3x_2 = 1 \quad \longrightarrow \quad \mathbf{x_2 = 1}$$

- Nel nostro caso abbiamo milioni di equazioni e **milioni di incognite**

- Il problema è sempre ricondotto a un **sistema lineare**

Esempio di sistema lineare: trovare x_1 e x_2 tali che

$$\begin{cases} -x_1 + 2x_2 = 0 \\ 2x_1 - 3x_2 = 1 \end{cases} \quad \text{2 equazioni e 2 incognite}$$

Soluzione: isolo x_1 nella prima equazione e sostituisco nella seconda

$$x_1 = 2x_2 \quad \longrightarrow \quad \mathbf{x_1 = 2}$$

$$2(2x_2) - 3x_2 = 1 \quad \longrightarrow \quad \mathbf{x_2 = 1}$$

E se le incognite sono di più ?

La *regola di Cramer* fornisce esplicitamente la soluzione per qualunque numero di incognite.

E se le incognite sono di più ?

La *regola di Cramer* fornisce esplicitamente la soluzione per qualunque numero di incognite.

Quanto costa ? $\mathcal{O}((N + 1)!)$ operazioni

E se le incognite sono di più ?

La *regola di Cramer* fornisce esplicitamente la soluzione per qualunque numero di incognite.

Quanto costa ? $\mathcal{O}((N + 1)!) \text{ operazioni}$

Dimensioni del sistema	→	Numero di operazioni
2×2		6

E se le incognite sono di più ?

La *regola di Cramer* fornisce esplicitamente la soluzione per qualunque numero di incognite.

Quanto costa ? $O((N + 1)!) \text{ operazioni}$

Dimensioni del sistema		Numero di operazioni
2×2	→	6
3×3	→	24

E se le incognite sono di più ?

La *regola di Cramer* fornisce esplicitamente la soluzione per qualunque numero di incognite.

Quanto costa ? $O((N + 1)!) \text{ operazioni}$

Dimensioni del sistema		Numero di operazioni
2×2	→	6
3×3	→	24
5×5	→	720

E se le incognite sono di più ?

La *regola di Cramer* fornisce esplicitamente la soluzione per qualunque numero di incognite.

Quanto costa ? $O((N + 1)!) \text{ operazioni}$

Dimensioni del sistema		Numero di operazioni
2×2	→	6
3×3	→	24
5×5	→	720
10×10	→	4×10^7

E se le incognite sono di più ?

La *regola di Cramer* fornisce esplicitamente la soluzione per qualunque numero di incognite.

Quanto costa ? $\mathcal{O}((N + 1)!) \text{ operazioni}$

Dimensioni del sistema		Numero di operazioni
2×2	→	6
3×3	→	24
5×5	→	720
10×10	→	4×10^7
25×25	→	1×10^{27}

E se le incognite sono di più ?

La *regola di Cramer* fornisce esplicitamente la soluzione per qualunque numero di incognite.

Quanto costa ? $O((N + 1)!) \text{ operazioni}$

Dimensioni del sistema		Numero di operazioni
2×2	→	6
3×3	→	24
5×5	→	720
10×10	→	4×10^7
25×25	→	1×10^{27}
100×100	→	9×10^{159}

E se le incognite sono di più ?

La *regola di Cramer* fornisce esplicitamente la soluzione per qualunque numero di incognite.

Quanto costa ? $\mathcal{O}((N + 1)!) \text{ operazioni}$

Dimensioni del sistema		Numero di operazioni
2×2	→	6
3×3	→	24
5×5	→	720
10×10	→	4×10^7
25×25	→	1×10^{27}
100×100	→	9×10^{159}



- Tianhe2 (National Super Computer Center in Guangzhou, Cina) è il computer più veloce del mondo

E se le incognite sono di più ?

La *regola di Cramer* fornisce esplicitamente la soluzione per qualunque numero di incognite.

Quanto costa ? $\mathcal{O}((N + 1)!)$ operazioni

Dimensioni del sistema		Numero di operazioni
2×2	→	6
3×3	→	24
5×5	→	720
10×10	→	4×10^7
25×25	→	1×10^{27}
100×100	→	9×10^{159}



- Tianhe2 (National Super Computer Center in Guangzhou, Cina) è il computer più veloce del mondo
- Esegue 33 862 TeraFLOPS (ovvero circa 34×10^{15} operazioni al secondo)

E se le incognite sono di più ?

La *regola di Cramer* fornisce esplicitamente la soluzione per qualunque numero di incognite.

Quanto costa ? $\mathcal{O}((N + 1)!)$ operazioni

Dimensioni del sistema		Numero di operazioni
2×2	→	6
3×3	→	24
5×5	→	720
10×10	→	4×10^7
25×25	→	1×10^{27}
100×100	→	9×10^{159}



- Tianhe2 (National Super Computer Center in Guangzhou, Cina) è il computer più veloce del mondo
- Esegue 33 862 TeraFLOPS (ovvero circa 34×10^{15} operazioni al secondo)
- Ci metterebbe **1000 anni** a risolvere un sistema 25×25 con la regola di Cramer!

Ma i sistemi veri sono piu' grandi ...

- Una simulazione tipica per lo scafo arriva ad avere sistemi di dimensione $N = 200\,000\,000$
- Con il *metodo di eliminazione di Gauss* si ottiene una soluzione in $\mathcal{O}(N^3)$ operazioni

Ma i sistemi veri sono piu' grandi ...

- Una simulazione tipica per lo scafo arriva ad avere sistemi di dimensione $N = 200\,000\,000$
- Con il *metodo di eliminazione di Gauss* si ottiene una soluzione in $\mathcal{O}(N^3)$ operazioni

Dimensioni del sistema

Numero di operazioni

Ma i sistemi veri sono piu' grandi ...

- Una simulazione tipica per lo scafo arriva ad avere sistemi di dimensione $N = 200\,000\,000$
- Con il *metodo di eliminazione di Gauss* si ottiene una soluzione in $\mathcal{O}(N^3)$ operazioni

Dimensioni del sistema
 10×10



Numero di operazioni
 4×10^2

Ma i sistemi veri sono piu' grandi ...

- Una simulazione tipica per lo scafo arriva ad avere sistemi di dimensione $N = 200\,000\,000$
- Con il *metodo di eliminazione di Gauss* si ottiene una soluzione in $\mathcal{O}(N^3)$ operazioni

Dimensioni del sistema		Numero di operazioni
10×10	\longrightarrow	4×10^2
100×100	\longrightarrow	3×10^5

Ma i sistemi veri sono piu' grandi ...

- Una simulazione tipica per lo scafo arriva ad avere sistemi di dimensione $N = 200\,000\,000$
- Con il *metodo di eliminazione di Gauss* si ottiene una soluzione in $\mathcal{O}(N^3)$ operazioni

Dimensioni del sistema		Numero di operazioni
10×10	→	4×10^2
100×100	→	3×10^5
$10\,000 \times 10\,000$	→	3×10^{11}

Ma i sistemi veri sono piu' grandi ...

- Una simulazione tipica per lo scafo arriva ad avere sistemi di dimensione $N = 200\,000\,000$
- Con il *metodo di eliminazione di Gauss* si ottiene una soluzione in $\mathcal{O}(N^3)$ operazioni

Dimensioni del sistema		Numero di operazioni
10×10	→	4×10^2
100×100	→	3×10^5
$10\,000 \times 10\,000$	→	3×10^{11}
$200\,000\,000 \times 200\,000\,000$	→	3×10^{24}

Ma i sistemi veri sono piu' grandi ...

- Una simulazione tipica per lo scafo arriva ad avere sistemi di dimensione $N = 200\,000\,000$
- Con il *metodo di eliminazione di Gauss* si ottiene una soluzione in $\mathcal{O}(N^3)$ operazioni

Dimensioni del sistema		Numero di operazioni
10×10	→	4×10^2
100×100	→	3×10^5
$10\,000 \times 10\,000$	→	3×10^{11}
$200\,000\,000 \times 200\,000\,000$	→	3×10^{24}



- Tianhe2 ci metterebbe comunque **3 anni** a risolvere il sistema necessario per una simulazione dello scafo

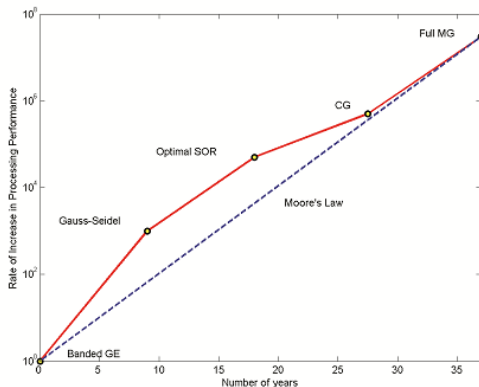
- La velocità di elaborazione dei calcolatori è cresciuta in modo esponenziale

Hardware + Software

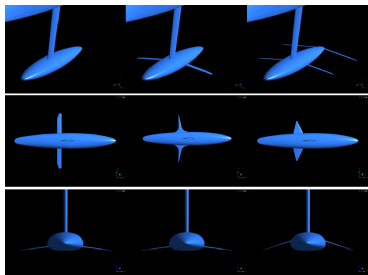
- La velocità di elaborazione dei calcolatori è cresciuta in modo esponenziale
- Parallelamente, si sono sviluppati algoritmi sempre più efficaci

Hardware + Software

- La velocità di elaborazione dei calcolatori è cresciuta in modo esponenziale
- Parallelamente, si sono sviluppati algoritmi sempre più efficaci

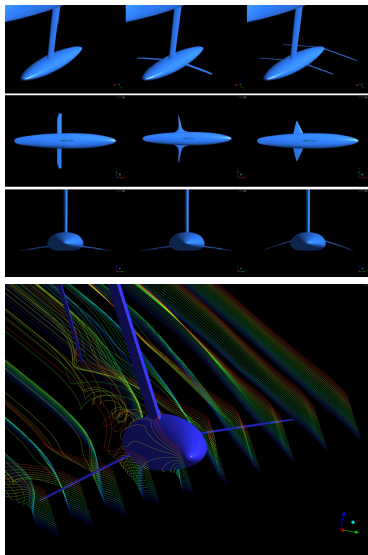


Progetto delle appendici: bulbo, chiglia e alette



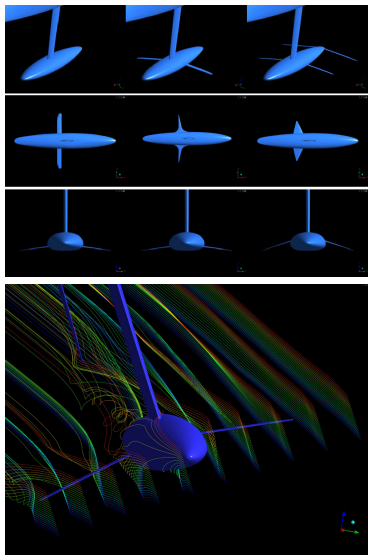
- Simulazione del flusso attorno alle appendici in diverse condizioni di regata
- Studi parametrici per diverse scelte di progetto
- Analisi di soluzioni radicalmente innovative

Progetto delle appendici: bulbo, chiglia e alette



- Simulazione del flusso attorno alle appendici in diverse condizioni di regata
 - Studi parametrici per diverse scelte di progetto
 - Analisi di soluzioni radicalmente innovative
-
- Necessarie griglie di calcolo molto raffinate
 - Utilizzo di visualizzazioni complesse per individuare strutture fluidodinamiche di interesse

Progetto delle appendici: bulbo, chiglia e alette



- Simulazione del flusso attorno alle appendici in diverse condizioni di regata
 - Studi parametrici per diverse scelte di progetto
 - Analisi di soluzioni radicalmente innovative
-
- Necessarie griglie di calcolo molto raffinate
 - Utilizzo di visualizzazioni complesse per individuare strutture fluidodinamiche di interesse

(in collaborazione con A. Quarteroni, D. Detomi, M. Lombardi)

Dinamica (rigida) dell'imbarcazione

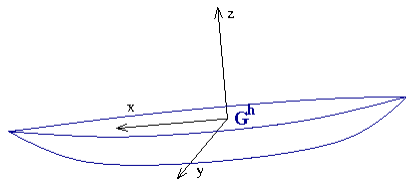
Seconda legge di Newton (**forza = massa x accelerazione**)

$$m\ddot{\mathbf{X}}_G = \mathbf{F} \quad (\text{lineare})$$

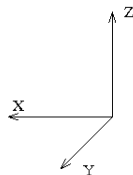
Dinamica (rigida) dell'imbarcazione

Seconda legge di Newton (**forza = massa x accelerazione**)

$$m\ddot{\mathbf{X}}_G = \mathbf{F} \quad (\text{lineare})$$



Sistema di riferimento locale ($G_C; x, y, z$)

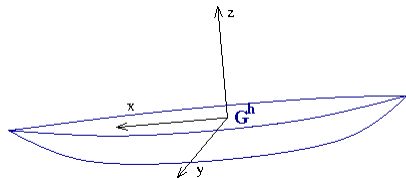


Sistema di riferimento globale ($O; X, Y, Z$)

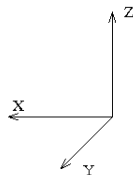
Dinamica (rigida) dell'imbarcazione

Seconda legge di Newton (**forza = massa x accelerazione**)

$$m\ddot{\mathbf{X}}_G = \mathbf{F} \quad (\text{lineare})$$



Sistema di riferimento locale ($\mathbf{G}_C; x, y, z$)



Sistema di riferimento globale ($\mathbf{O}; X, Y, Z$)

$$\mathcal{R} = \begin{bmatrix} \cos \theta \cos \psi & \sin \phi \sin \theta \cos \psi - \cos \phi \sin \psi & \cos \phi \sin \theta \cos \psi + \sin \phi \sin \psi \\ \cos \theta \sin \psi & \sin \phi \sin \theta \sin \psi + \cos \phi \cos \psi & \cos \phi \sin \theta \sin \psi - \sin \phi \cos \psi \\ -\sin \theta & \sin \phi \cos \theta & \cos \phi \cos \theta \end{bmatrix}$$

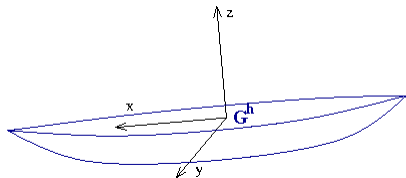
$$I_G = \begin{bmatrix} I_{xx} & I_{xy} & I_{xz} \\ I_{yx} & I_{yy} & I_{yz} \\ I_{zx} & I_{zy} & I_{zz} \end{bmatrix}$$

Dinamica (rigida) dell'imbarcazione

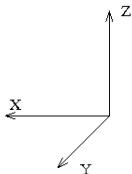
Seconda legge di Newton (**forza = massa x accelerazione**)

$$m\ddot{\mathbf{X}}_G = \mathbf{F} \quad (\text{lineare})$$

$$\mathcal{R}I_G\mathcal{R}^{-1}\dot{\boldsymbol{\omega}} + \boldsymbol{\omega} \times \mathcal{R}I_G\mathcal{R}^{-1}\boldsymbol{\omega} = \mathbf{M}_G \quad (\text{angolare})$$



Sistema di riferimento locale ($\mathbf{G}_c; x, y, z$)

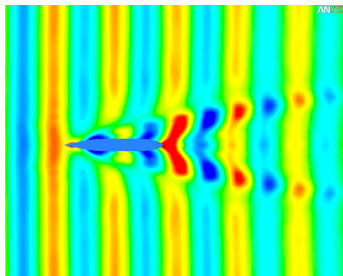
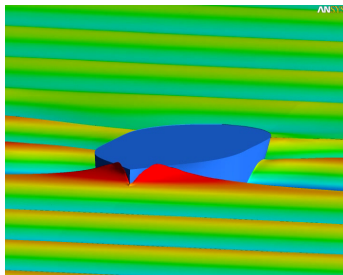


Sistema di riferimento globale ($\mathbf{O}; X, Y, Z$)

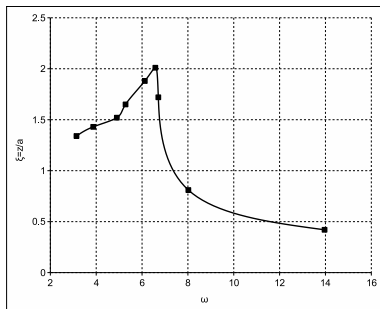
$$\mathcal{R} = \begin{bmatrix} \cos \theta \cos \psi & \sin \phi \sin \theta \cos \psi - \cos \phi \sin \psi & \cos \phi \sin \theta \cos \psi + \sin \phi \sin \psi \\ \cos \theta \sin \psi & \sin \phi \sin \theta \sin \psi + \cos \phi \cos \psi & \cos \phi \sin \theta \sin \psi - \sin \phi \cos \psi \\ -\sin \theta & \sin \phi \cos \theta & \cos \phi \cos \theta \end{bmatrix}$$

$$I_G = \begin{bmatrix} I_{xx} & I_{xy} & I_{xz} \\ I_{yx} & I_{yy} & I_{yz} \\ I_{zx} & I_{zy} & I_{zz} \end{bmatrix}$$

Dinamica in mare ondos



- Modello numerico del campo ondos
- Analisi di tenuta del mare (*seakeeping*)
- Risposta dinamica dell'imbarcazione a diverse frequenze e ampiezze d'onda



Massimo affondamento vs Frequenza d'onda

Interazione vento/vele

- Di **bolina**, flusso sostanzialmente attaccato (no separazioni)
- Modelli più semplici di flusso (a potenziale)
- Accoppiamento fluido-struttura tra un solutore strutturale e un codice a pannelli



- Di **poppa**, il flusso separato attorno a spinnaker/gennaker
- Solutori fluidi basati sulle equazioni di Navier-Stokes
- Sviluppo di algoritmi di accoppiamento fluido-struttura

Solutore strutturale: data la pressione sulla vela, calcola deformazione e velocità

$$(\mathbf{G}, \mathbf{U}) = \text{Struct}(P)$$

Solutore fluido: date posizione e velocità della vela, calcola pressione

$$P = \text{Fluid}(\mathbf{G}, \mathbf{U})$$

Accoppiamento FSI: dato un campo iniziale di pressione P_0 , si itera, per $k = 1, \dots$

$$(\mathbf{G}_{k+1}, \mathbf{U}_{k+1}) = \text{Struct}(p_k)$$

$$P_{k+1} = \text{Fluid}(\mathbf{G}_{k+1}, \mathbf{U}_{k+1})$$

fino a convergenza.

Virtual Wind Tunnel (VWT)

Fluid-Structural Icem-CFX-MemBrain GUI

Current Run: A112_video_22_06_200 (JOB ID: 20176 status: **RUNNING**)

General | Geo & Block | Mesh (1) | Mesh (2) | CFX BC | CFX Settings | Monitor (1) | Monitor (2) | Post Proc.

Set input data for mesh building

Far Field Mesh and Cylinder

Mesh Tools
 Disable automatic calibration # Hexa: 741792 (BL: 110808 Cyl: 304744)

Far Field

<input checked="" type="checkbox"/> # points on X1	12
<input checked="" type="checkbox"/> # points on X2	28
<input checked="" type="checkbox"/> # points on Z1	13
<input checked="" type="checkbox"/> # points on Z2	42

Sea BL

BL distribution law	exp
BL initial spacing (S_01)	0.01
BL initial ratio (S_12/S_01)	1.1
<input checked="" type="checkbox"/> BL # of layers (n)	10

Quality

Target on Cyl Mesh (0->1)	0.2,0.5,0.8
---------------------------	-------------

O-Grids

<input checked="" type="checkbox"/> # points large O-Grid	17
<input checked="" type="checkbox"/> # points small O-Grid	14

Cylinder

<input checked="" type="checkbox"/> # points above	21
<input checked="" type="checkbox"/> # points on Y axis	47
<input checked="" type="checkbox"/> # points on XZ plane	176

Smoothing

# steps on Cyl Mesh	2.2.2
---------------------	-------

View 3D sail plots

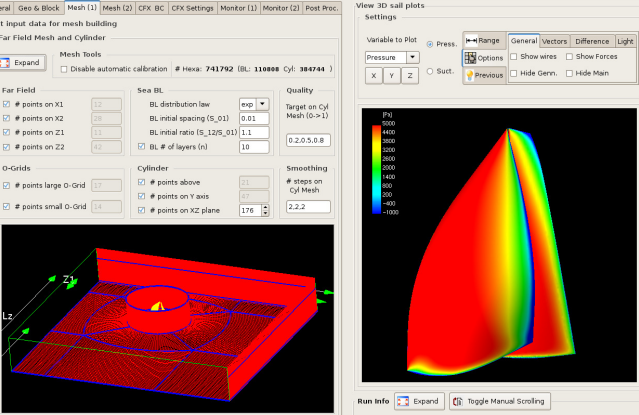
Settings

Variable to Plot: Press. Range: General | Vectors | Difference | Light

Options: Show wires Show Forces

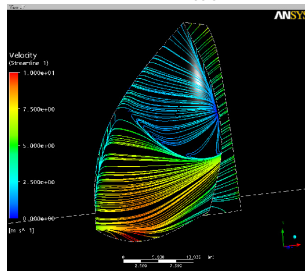
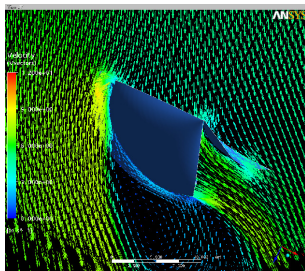
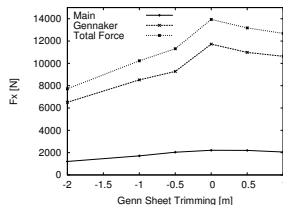
Suct. Previous Hide Gern. Hide Main

Run Info:



Simulazioni FSI stazionarie per le vele

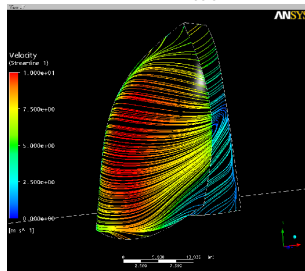
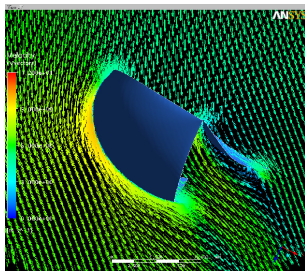
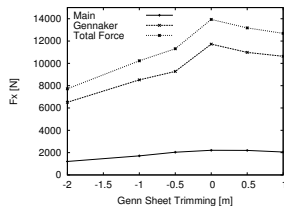
- Analisi di diverse forme e regolazioni (trimming)
- Identificazione del trimming ottimale



Gennaker Sheet Trimming GS=-1 m

Simulazioni FSI stazionarie per le vele

- Analisi di diverse forme e regolazioni (trimming)
- Identificazione del trimming ottimale



Gennaker Sheet Trimming GS=0.5 m

31^a Coppa America

- Auckland (NZ), Febbraio 2003
- Defender: Team New Zealand (NZ)
- Challenger: Alinghi (SUI)



31^a Coppa America

- Auckland (NZ), Febbraio 2003
- Defender: Team New Zealand (NZ)
- Challenger: Alinghi (SUI)



31^a Coppa America

- Auckland (NZ), Febbraio 2003
- Defender: Team New Zealand (NZ)
- Challenger: Alinghi (SUI)



32^a Coppa America

- Valencia (E), Luglio 2007
- Defender: Alinghi (SUI)
- Challenger: Team New Zealand (TNZ)



31^a Coppa America

- Auckland (NZ), Febbraio 2003
- Defender: Team New Zealand (NZ)
- Challenger: Alinghi (SUI)



32^a Coppa America

- Valencia (E), Luglio 2007
- Defender: Alinghi (SUI)
- Challenger: Team New Zealand (TNZ)



31^a Coppa America

- Auckland (NZ), Febbraio 2003
- Defender: Team New Zealand (NZ)
- Challenger: Alinghi (SUI)



32^a Coppa America

- Valencia (E), Luglio 2007
- Defender: Alinghi (SUI)
- Challenger: Team New Zealand (TNZ)



33^a Coppa America

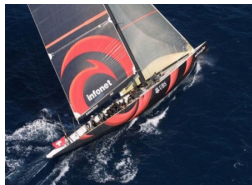
- Valencia (E), Febbraio 2010
- Defender: Alinghi (SUI)
- Challenger: BMW Oracle Racing (USA)



Matematica per vincere (purtroppo non sempre)

31^a Coppa America

- Auckland (NZ), Febbraio 2003
- Defender: Team New Zealand (NZ)
- Challenger: Alinghi (SUI)



32^a Coppa America

- Valencia (E), Luglio 2007
- Defender: Alinghi (SUI)
- Challenger: Team New Zealand (TNZ)



33^a Coppa America

- Valencia (E), Febbraio 2010
- Defender: Alinghi (SUI)
- Challenger: BMW Oracle Racing (USA)

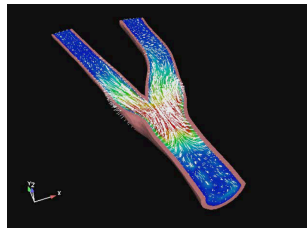


Generalità dei metodi sviluppati

- Sviluppo teorico ed algoritmico utilizzabile in diversi ambiti
- Integrazione di risultati e teorie sviluppate per diverse applicazioni



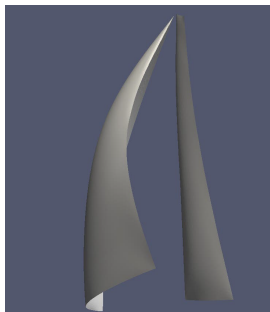
Interazione vento/vela



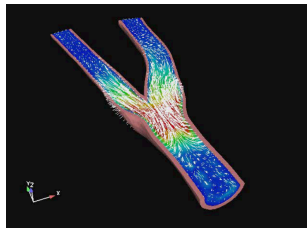
Interazione sangue/arteria

Generalità dei metodi sviluppati

- Sviluppo teorico ed algoritmico utilizzabile in diversi ambiti
- Integrazione di risultati e teorie sviluppate per diverse applicazioni



Interazione vento/vela



Interazione sangue/arteria

La "stessa matematica" governa fenomeni molto diversi

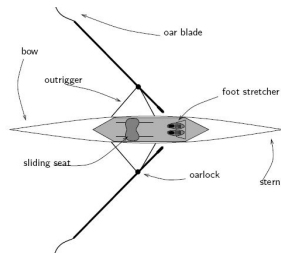
Matematica e Canottaggio Olimpico

Problema complesso:

- superficie libera
- flussi turbolenti
- dinamica dei vogatori

Modelli sviluppati:

- ricostruzione del sistema scafo/remi/vogatori
- modello dinamico rapido con fluidodinamica semplificata
- accoppiamento con modelli fluidodinamici completi
- analisi dell'effetto della profondità del bacino



(in collaborazione con L. Formaggia, E. Miglio, A. Mola, M. Pischiutta)

Dinamica dello scafo

Equazioni per la quantità di moto (lineare e angolare) per lo scafo

$$M\ddot{\mathbf{G}}^c = M\mathbf{g} + \mathbf{F}^w$$

$$\mathcal{R}I_G\mathcal{R}^{-1}\dot{\boldsymbol{\omega}} + \boldsymbol{\omega} \times \mathcal{R}I_G\mathcal{R}^{-1}\boldsymbol{\omega} = \mathbf{M}^w$$

Dinamica dello scafo (con forzanti)

Equazioni per la quantità di moto (lineare e angolare) per lo scafo

$$\begin{aligned} M\ddot{\mathbf{G}}^c &= M\mathbf{g} + \mathbf{F}^w + \sum_{j=1}^n (\mathbf{F}_{olj} + \mathbf{F}_{orj}) + \sum_{j=1}^n (\mathbf{F}_{slj} + \mathbf{F}_{srj}) \\ &+ \sum_{j=1}^n (\mathbf{F}_{flj} + \mathbf{F}_{frj}) \end{aligned}$$

$$\begin{aligned} \mathcal{R}I_G\mathcal{R}^{-1}\dot{\boldsymbol{\omega}} + \boldsymbol{\omega} \times \mathcal{R}I_G\mathcal{R}^{-1}\boldsymbol{\omega} &= \mathbf{M}^w + \sum_{j=1}^n [(\mathbf{X}_{olj} - \mathbf{G}^h) \times \mathbf{F}_{olj} + (\mathbf{X}_{orj} - \mathbf{G}^h) \times \mathbf{F}_{orj}] \\ &+ \sum_{j=1}^n [(\mathbf{X}_{slj} - \mathbf{G}^h) \times \mathbf{F}_{slj} + (\mathbf{X}_{srj} - \mathbf{G}^h) \times \mathbf{F}_{srj}] \\ &+ \sum_{j=1}^n [(\mathbf{X}_{flj} - \mathbf{G}^h) \times \mathbf{F}_{flj} + (\mathbf{X}_{frj} - \mathbf{G}^h) \times \mathbf{F}_{frj}] \end{aligned}$$

\mathbf{F}_{olj} , \mathbf{F}_{orj} : forze sugli scalmi

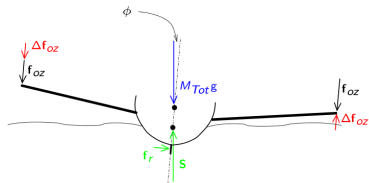
\mathbf{F}_{slj} , \mathbf{F}_{srj} : forze sulle sedute

\mathbf{F}_{flj} , \mathbf{F}_{frj} : forze sulle pedane

Un semplice modello di controllo

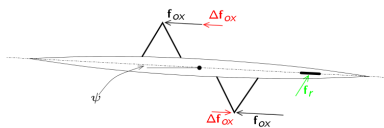
Il sistema è intrinsecamente instabile e richiede un modello di controllo.

Controllo del rollio



$$F_{o,x} = \begin{cases} F_x^{max} \sin\left(\frac{\pi t}{\tau_a}\right)^2 \pm k_{Roll} \phi, & \text{if } 0 \leq t \leq \tau_a \\ \pm k_{Roll} \phi & \text{if } \tau_a < t \leq T \end{cases}$$

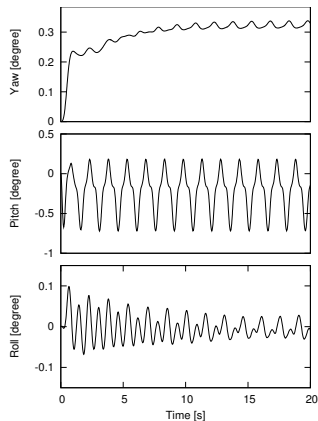
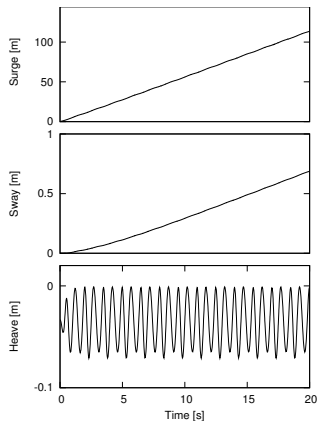
Controllo dell'imbardata



$$F_{o,z} = \begin{cases} (F_z^{max} \pm k_{Yaw} \psi) \sin\left(\frac{\pi t}{\tau_a}\right)^2, & \text{if } 0 \leq t \leq \tau_a \\ 0 & \text{if } \tau_a < t \leq T \end{cases}$$

Simulazioni di regate

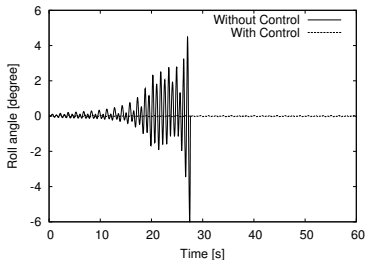
Caso non-simmetrico: 4 senza (di punta)



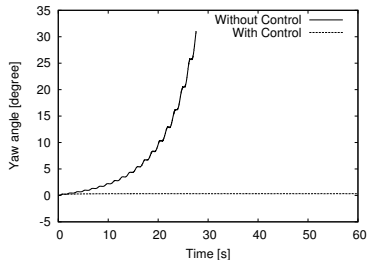
$$\begin{aligned} F_{X_{max} 1} &= 1300\text{N} & F_{Z_{max} 1} &= 230\text{N} \\ F_{X_{max} 2} &= 1200\text{N} & F_{Z_{max} 1} &= 200\text{N} \\ F_{X_{max} 3} &= 1200\text{N} & F_{Z_{max} 1} &= 200\text{N} \\ F_{X_{max} 4} &= 1200\text{N} & F_{Z_{max} 1} &= 200\text{N} \end{aligned}$$

Efficacia del controllo

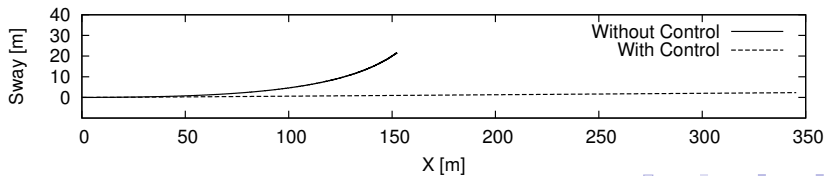
Rollio



Imbardata

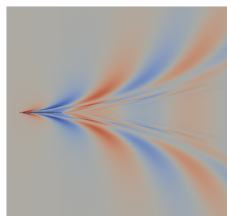


Traiettoria dell'imbarcazione

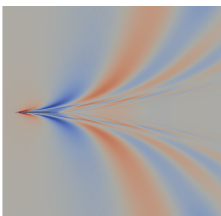


Profondità del bacino di gara

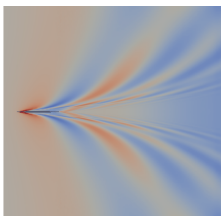
- Ricerca commissionata della Federazione internazionale (FISA)
- Quanto influisce la profondità del bacino sulle prestazioni
 - diverso comportamento delle correnti nel bacino
 - diversi regimi (acque alte o basse)
 - analisi dei profili d'onda a diversi regimi
 - analisi dell'interferenza tra le corsie



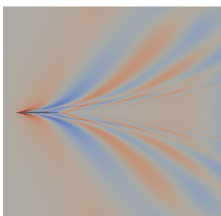
H=2 m
 $Fr_H = 0.85$



H=2.5 m
 $Fr_H = 0.92$



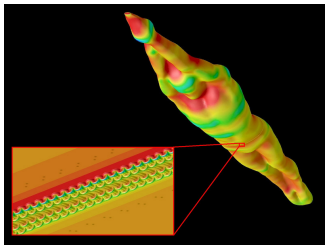
H=3 m
 $Fr_H = 1.00$



H=3.5 m
 $Fr_H = 1.12$

Nuoto

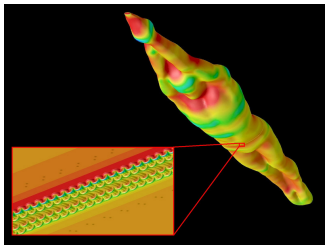
- Progetto finanziato da Arena International per l'analisi di un nuovo costume senza cuciture
- Miglioramento delle prestazioni dovuto alla minore resistenza
- Simulazioni numeriche **locali** (nella regione delle cuciture) e **globali** per la stima della riduzione di resistenza



(in collaborazione con F. Biondi)

Nuoto

- Progetto finanziato da Arena International per l'analisi di un nuovo costume senza cuciture
- Miglioramento delle prestazioni dovuto alla minore resistenza
- Simulazioni numeriche **locali** (nella regione delle cuciture) e **globali** per la stima della riduzione di resistenza



(in collaborazione con F. Biondi)

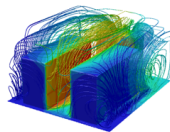
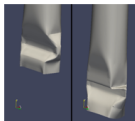
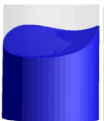
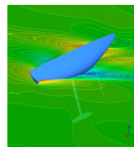
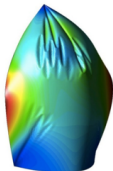
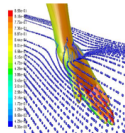
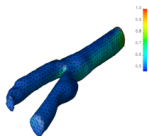
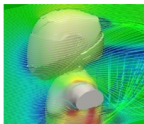
Pallavolo

- Progetto di MOXOFF in collaborazione con MOX
- Segmentazione video per identificazione del movimento
- Ricostruzione della cinematica del gesto atletico
- Analisi statistica dei dati raccolti sul campo

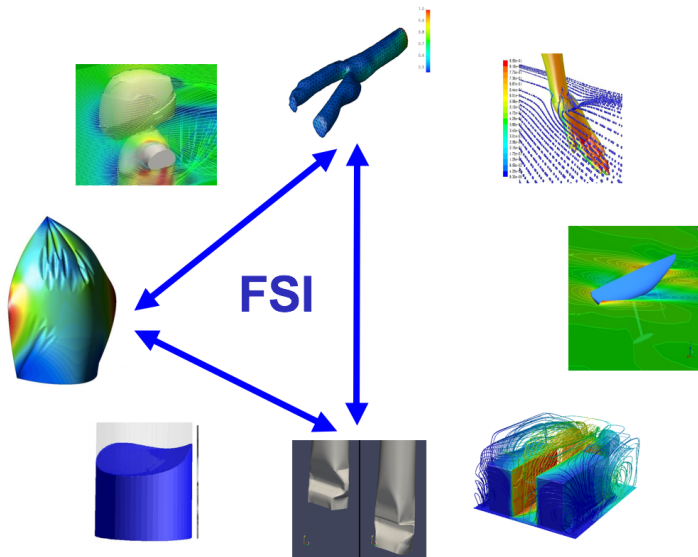


(P. Ferrandi, E. Miglio, M. Pischiutta)

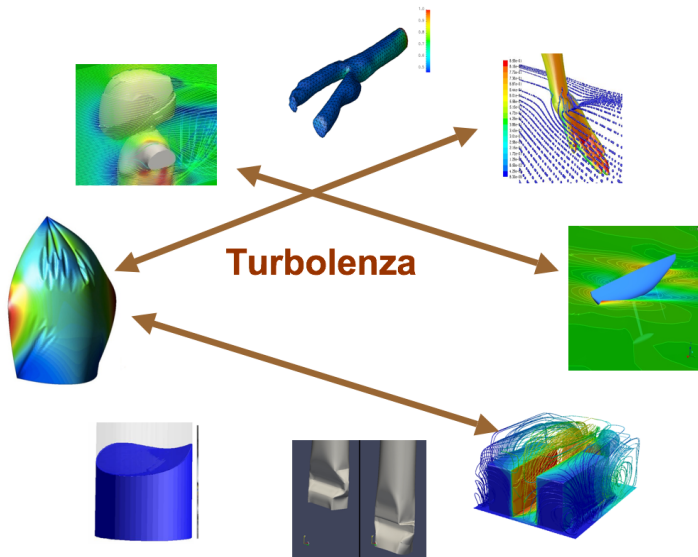
Sport: solo uno dei tanti campi da gioco



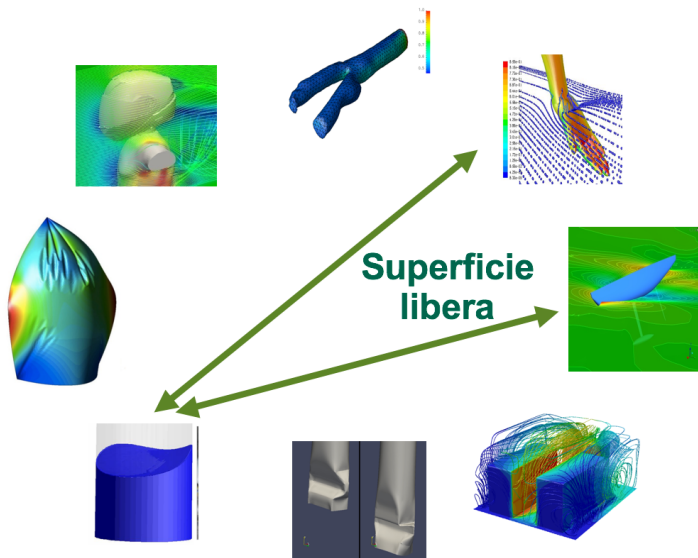
Sport: solo uno dei tanti campi da gioco



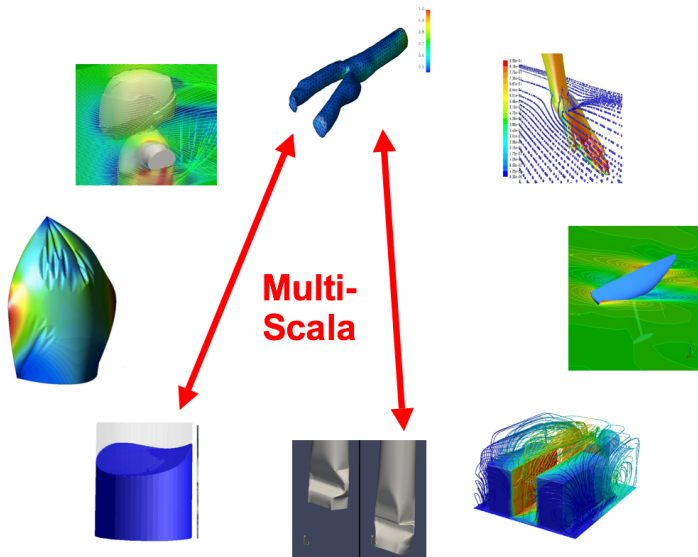
Sport: solo uno dei tanti campi da gioco



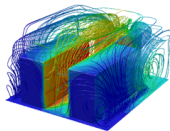
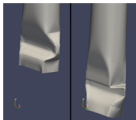
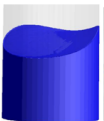
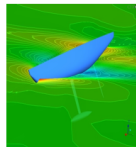
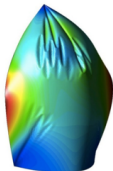
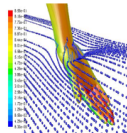
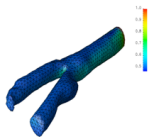
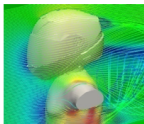
Sport: solo uno dei tanti campi da gioco



Sport: solo uno dei tanti campi da gioco



Sport: solo uno dei tanti campi da gioco



BETONMATH

BETONMATH

- un progetto di ricerca per **prevenire l'abuso del gioco d'azzardo** attraverso l'insegnamento della probabilità

BETONMATH

- un progetto di ricerca per **prevenire l'abuso del gioco d'azzardo** attraverso l'insegnamento della probabilità
- un percorso didattico rivolto a studenti delle scuole superiori

BETONMATH

- un progetto di ricerca per **prevenire l'abuso del gioco d'azzardo** attraverso l'insegnamento della probabilità
- un percorso didattico rivolto a studenti delle scuole superiori
- primi due cicli di **formazione insegnanti**: aprile e ottobre 2014

BETONMATH

- un progetto di ricerca per **prevenire l'abuso del gioco d'azzardo** attraverso l'insegnamento della probabilità
- un percorso didattico rivolto a studenti delle scuole superiori
- primi due cicli di **formazione insegnanti**: aprile e ottobre 2014
- continuo lavoro di confronto con gli insegnanti

BETONMATH

- un progetto di ricerca per **prevenire l'abuso del gioco d'azzardo** attraverso l'insegnamento della probabilità
- un percorso didattico rivolto a studenti delle scuole superiori
- primi due cicli di **formazione insegnanti**: aprile e ottobre 2014
- continuo lavoro di confronto con gli insegnanti
- terzo ciclo di formazione previsto per marzo 2015

BETONMATH

- un progetto di ricerca per **prevenire l'abuso del gioco d'azzardo** attraverso l'insegnamento della probabilità
- un percorso didattico rivolto a studenti delle scuole superiori
- primi due cicli di **formazione insegnanti**: aprile e ottobre 2014
- continuo lavoro di confronto con gli insegnanti
- terzo ciclo di formazione previsto per marzo 2015
- finanziato dal **5x1000 del Politecnico di Milano** attraverso il Polisocial Award 2013 (www.polisocial.polimi.it)

BETONMATH

- un progetto di ricerca per **prevenire l'abuso del gioco d'azzardo** attraverso l'insegnamento della probabilità
- un percorso didattico rivolto a studenti delle scuole superiori
- primi due cicli di **formazione insegnanti**: aprile e ottobre 2014
- continuo lavoro di confronto con gli insegnanti
- terzo ciclo di formazione previsto per marzo 2015
- finanziato dal **5x1000 del Politecnico di Milano** attraverso il Polisocial Award 2013 (www.polisocial.polimi.it)

(in collaborazione con C. Andrà, M. Verani, D. Brunetto)

Quanto è improbabile vincere

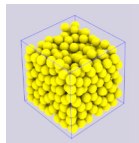
Quanto è improbabile vincere

Ambo secco su una ruota: $P = \frac{1}{401}$

Quanto è improbabile vincere

Ambo secco su una ruota:

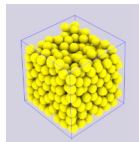
$$P = \frac{1}{401}$$



Quanto è improbabile vincere

Ambo secco su una ruota:

$$P = \frac{1}{401}$$



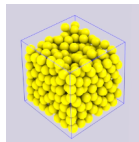
Quaterna su una ruota:

$$P = \frac{1}{511038}$$

Quanto è improbabile vincere

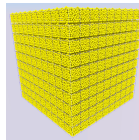
Ambo secco su una ruota:

$$P = \frac{1}{401}$$



Quaterna su una ruota:

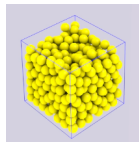
$$P = \frac{1}{511038}$$



Quanto è improbabile vincere

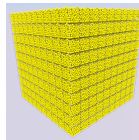
Ambo secco su una ruota:

$$P = \frac{1}{401}$$



Quaterna su una ruota:

$$P = \frac{1}{511\,038}$$



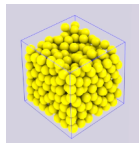
500 000 al Gratta&Vinci:

$$P = \frac{1}{6\,000\,000}$$

Quanto è improbabile vincere

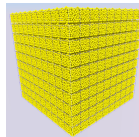
Ambo secco su una ruota:

$$P = \frac{1}{401}$$



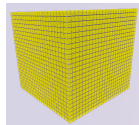
Quaterna su una ruota:

$$P = \frac{1}{511\,038}$$



500 000 al Gratta&Vinci:

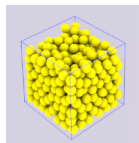
$$P = \frac{1}{6\,000\,000}$$



Quanto è improbabile vincere

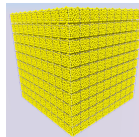
Ambo secco su una ruota:

$$P = \frac{1}{401}$$



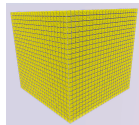
Quaterna su una ruota:

$$P = \frac{1}{511\,038}$$



500 000 al Gratta&Vinci:

$$P = \frac{1}{6\,000\,000}$$



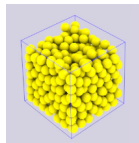
Sei al SuperEnalotto:

$$P = \frac{1}{622\,614\,630}$$

Quanto è improbabile vincere

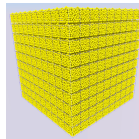
Ambo secco su una ruota:

$$P = \frac{1}{401}$$



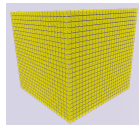
Quaterna su una ruota:

$$P = \frac{1}{511\,038}$$



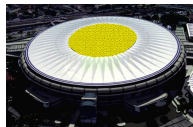
500 000 al Gratta&Vinci:

$$P = \frac{1}{6\,000\,000}$$



Sei al SuperEnalotto:

$$P = \frac{1}{622\,614\,630}$$



(animazioni by G. Aloe)

L'equità svelata dai simulatori

L'equità svelata dai simulatori

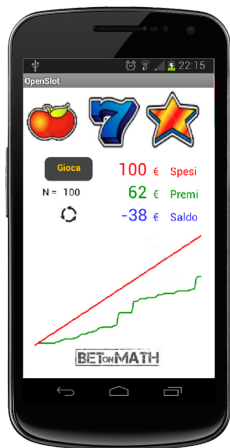
- **Simulatori didattici** sviluppati come app per smartphone Android

L'equità svelata dai simulatori



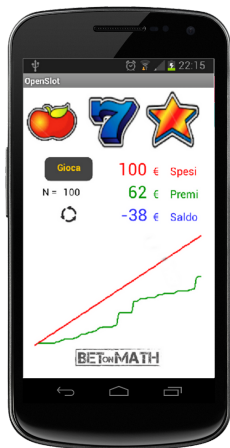
- **Simulatori didattici** sviluppati come app per smartphone Android
 - Una lotteria istantanea: **Gratta&Perdi**

L'equità svelata dai simulatori



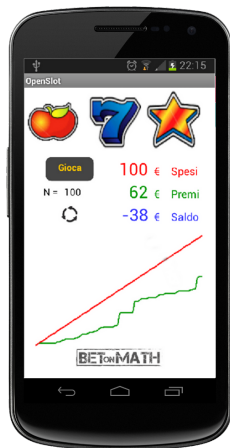
- **Simulatori didattici** sviluppati come app per smartphone Android
 - Una lotteria istantanea: **Gratta&Perdi**
 - Una slot trasparente: **OpenSlot**

L'equità svelata dai simulatori



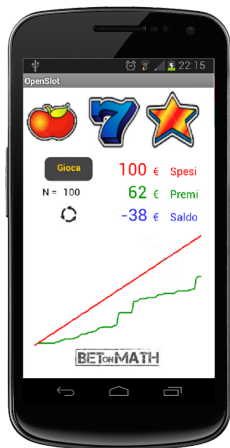
- **Simulatori didattici** sviluppati come app per smartphone Android
 - Una lotteria istantanea: **Gratta&Perdi**
 - Una slot trasparente: **OpenSlot**
- Gli studenti possono utilizzarli in **prima persona**

L'equità svelata dai simulatori



- **Simulatori didattici** sviluppati come app per smartphone Android
 - Una lotteria istantanea: **Gratta&Perdi**
 - Una slot trasparente: **OpenSlot**
- Gli studenti possono utilizzarli in **prima persona**
- In pochi istanti mostrano il comportamento per **grandi numeri**

L'equità svelata dai simulatori



- **Simulatori didattici** sviluppati come app per smartphone Android
 - Una lotteria istantanea: **Gratta&Perdi**
 - Una slot trasparente: **OpenSlot**
- Gli studenti possono utilizzarli in **prima persona**
- In pochi istanti mostrano il comportamento per **grandi numeri**
- Combinano l'esperienza **a caldo** del gioco (e a volte della vincita) con la riflessione **a freddo**

La matematica per non perdere

- Il **matematica** ci aiuta a smascherare le insidie del gioco d'azzardo

La matematica per non perdere

- Il **matematica** ci aiuta a smascherare le insidie del gioco d'azzardo
- In tutti i giochi d'azzardo, l'**unico che guadagna** è chi li organizza

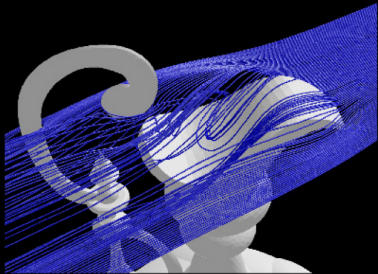
La matematica per non perdere

- Il **matematica** ci aiuta a smascherare le insidie del gioco d'azzardo
- In tutti i giochi d'azzardo, l'**unico che guadagna** è chi li organizza
- Giocare con regolarità, **non è più azzardo**, ma è certezza di perdere!

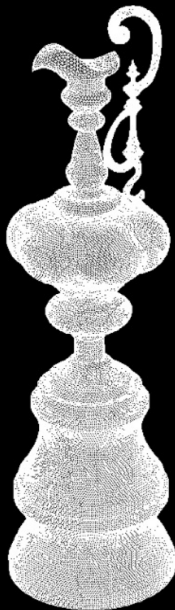
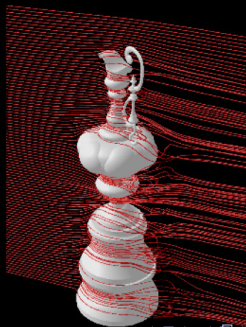
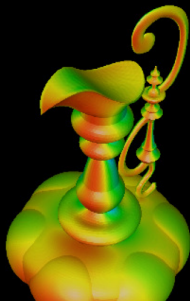
La matematica per non perdere

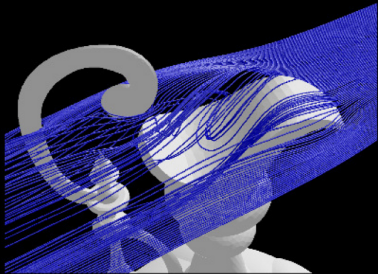
- Il **matematica** ci aiuta a smascherare le insidie del gioco d'azzardo
- In tutti i giochi d'azzardo, l'**unico che guadagna** è chi li organizza
- Giocare con regolarità, **non è più azzardo**, ma è certezza di perdere!

<http://betonmath.polimi.it>

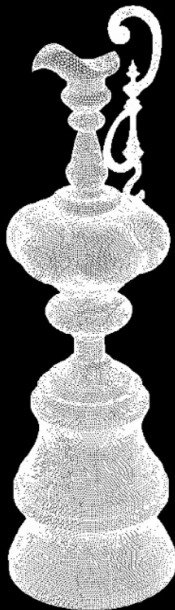
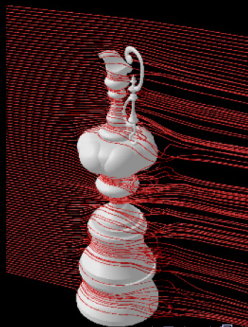
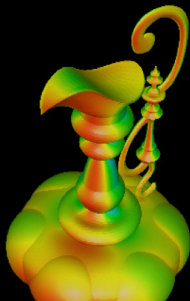


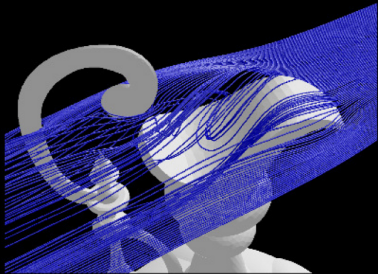
**GRAZIE DELLA VOSTRA
ATTENZIONE !**



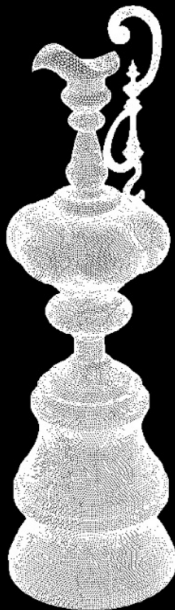
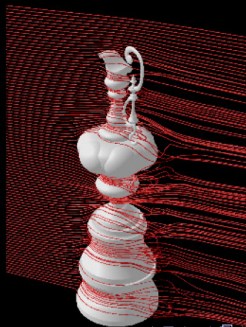
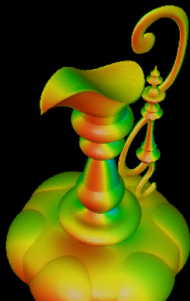


**GRAZIE DELLA VOSTRA
ATTENZIONE !**





**GRAZIE DELLA VOSTRA
ATTENZIONE !**



Valutare eventi molto improbabili

Valutare eventi molto improbabili: visualizzare

Esempio



Esempio

- un biglietto su 6 000 000 vince il premio massimo

Valutare eventi molto improbabili: visualizzare

Esempio

- un biglietto su 6 000 000 vince il premio massimo
- un biglietto del Gratta&Vinci è alto 15.3 cm



Valutare eventi molto improbabili: visualizzare



Esempio

- un biglietto su 6 000 000 vince il premio massimo
- un biglietto del Gratta&Vinci è alto 15.3 cm
- riusciamo ad immaginare quanti sono ?

Valutare eventi molto improbabili: visualizzare

Esempio

- un biglietto su 6 000 000 vince il premio massimo
- un biglietto del Gratta&Vinci è alto 15.3 cm
- riusciamo ad immaginare quanti sono ?



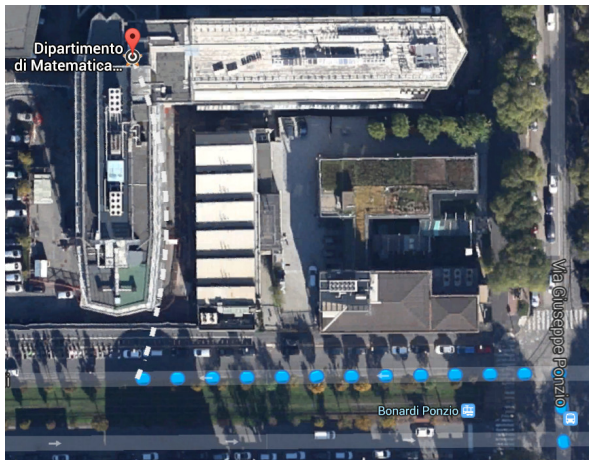
Valutare eventi molto improbabili: visualizzare

Esempio

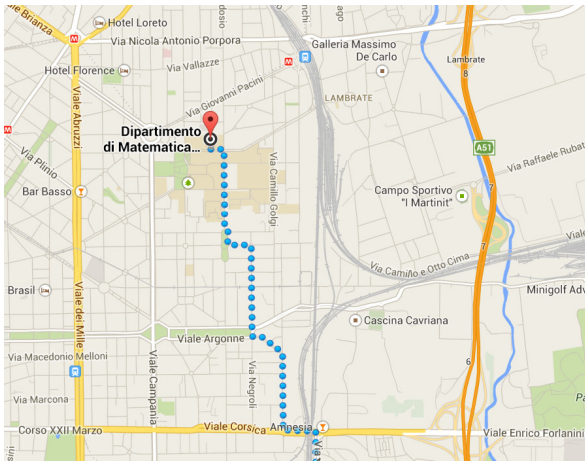
- un biglietto su 6 000 000 vince il premio massimo
- un biglietto del Gratta&Vinci è alto 15.3 cm
- riusciamo ad immaginare quanti sono ?



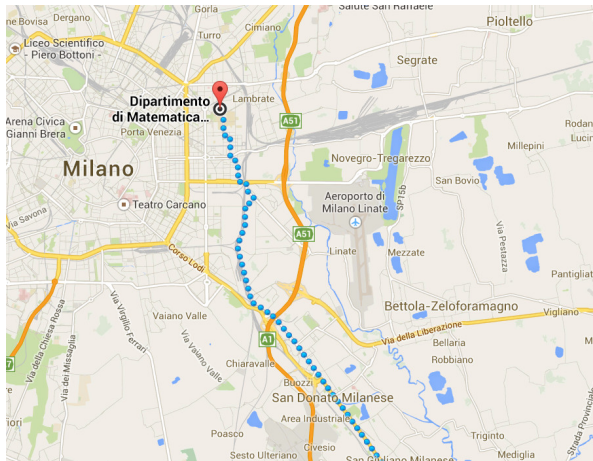
Valutare eventi molto improbabili: visualizzare



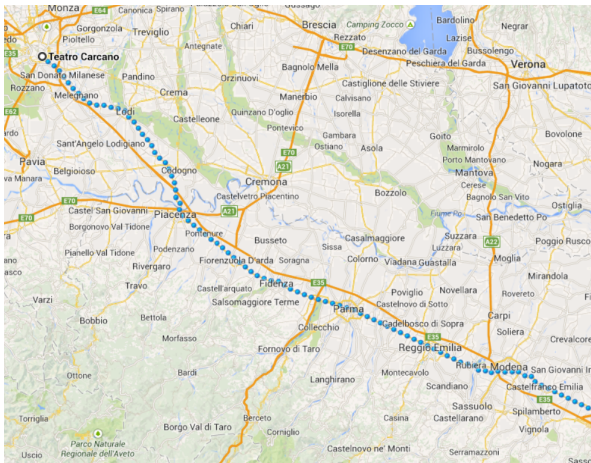
Valutare eventi molto improbabili: **visualizzare**



Valutare eventi molto improbabili: visualizzare



Valutare eventi molto improbabili: visualizzare



Valutare eventi molto improbabili: visualizzare



Valutare eventi molto improbabili: visualizzare



$$15.3 \text{ cm} \times 6\,000\,000 = 918 \text{ Km}$$

Valutare eventi molto improbabili: visualizzare



$15.3 \text{ cm} \times 6\,000\,000 = 918 \text{ Km}$

Un solo biglietto vincente tra MILANO e MONOPOLI

Valutare eventi molto improbabili

Valutare eventi molto improbabili: **confrontare**

Valutare eventi molto improbabili: **confrontare**

Dati

Dati

- Numero di tabaccherie in Italia: 56000

Dati

- Numero di tabaccherie in Italia: 56000
- Numero di rapine in tabaccheria all'anno: 500

Dati

- Numero di tabaccherie in Italia: 56000
- Numero di rapine in tabaccheria all'anno: 500
- Una tabaccheria è aperta (in media) 12 ore al giorno

Dati

- Numero di tabaccherie in Italia: 56000
- Numero di rapine in tabaccheria all'anno: 500
- Una tabaccheria è aperta (in media) 12 ore al giorno
- Una rapina dura (in media) 2 minuti

Dati

- Numero di tabaccherie in Italia: 56000
- Numero di rapine in tabaccheria all'anno: 500
- Una tabaccheria è aperta (in media) 12 ore al giorno
- Una rapina dura (in media) 2 minuti

Calcolo delle probabilità ...

Dati

- Numero di tabaccherie in Italia: 56000
- Numero di rapine in tabaccheria all'anno: 500
- Una tabaccheria è aperta (in media) 12 ore al giorno
- Una rapina dura (in media) 2 minuti

Calcolo delle probabilità ...

- ... di **finire in mezzo ad una rapina**: $P = \frac{1}{14\,716\,800}$

Dati

- Numero di tabaccherie in Italia: 56000
- Numero di rapine in tabaccheria all'anno: 500
- Una tabaccheria è aperta (in media) 12 ore al giorno
- Una rapina dura (in media) 2 minuti

Calcolo delle probabilità ...

- ... di **finire in mezzo ad una rapina**: $P = \frac{1}{14\,716\,800}$
- ... di **fare sei al SuperEnalotto**: $P = \frac{1}{622\,614\,630}$

Dati

- Numero di tabaccherie in Italia: 56000
- Numero di rapine in tabaccheria all'anno: 500
- Una tabaccheria è aperta (in media) 12 ore al giorno
- Una rapina dura (in media) 2 minuti

Calcolo delle probabilità ...

- ... di **finire in mezzo ad una rapina**: $P = \frac{1}{14\,716\,800}$
- ... di **fare sei al SuperEnalotto**: $P = \frac{1}{622\,614\,630}$

Ovvero, quando vai a giocare al SuperEnalotto ...

... è **40 volte** più probabile
finire in mezzo ad una rapina
che **vincere il Jackpot**

Riferimenti bibliografici

- N. P. and A. Quarteroni, Mathematical Models and Numerical Simulations for the America's Cup. *Comp. Meth. Appl. Mech. Eng.*, **194**, 1001–1026 (2005).
- L. Formaggia, E. Miglio, A. Mola, and N. P. Fluid-structure interaction problems in free surface flows: application to boat dynamics. *Int. J. Num. Meth. Fluids* **56(8)** 965–978 (2008)
- D. Detomi, N. P. and A. Quarteroni, Numerical Models and Simulations in Sailing Yacht Design. In *Computational Fluid Dynamics for Sport Simulation*, Lecture Notes in Computational Science and Engineering 72, Springer, 2009.
- L. Formaggia, A. Mola, N. P., and M. Pischiutta, A three-dimensional model for the dynamics and hydrodynamics of rowing boats, *Proc. of the Institution of Mechanical Engineers, Part P: Journal of Sports Engineering and Technology*, 224, 51–61 (2010).
- M. Lombardi, M. Cremonesi, A. Giampieri, N. P., and A. Quarteroni, A strongly coupled fluid-structure interaction model for wind-sail simulation, in *Proceedings of the 4th High Performance Yacht Design conference*, Auckland (2012)
- M. Lombardi, N. P., A. Quarteroni, and G. Rozza. Numerical simulation of sailing boats: Dynamics, FSI, and shape optimization, in *Variational Analysis and Aerospace Engineering: Mathematical Challenges for Aerospace Design*, vol. 66 of Optimization and Its Applications, 339–377, Springer (2012)
- M. Lombardi, N. P., Unsteady FSI simulations of downwind sails, in *Proceedings of the V International Conference on Computational Methods in Marine Engineering, MARINE 2013*, B. Brinkmann and P. Wriggers (Eds), 2013.
- N. P., A. Quarteroni, Sport, to appear in *The Princeton Companion to Applied Mathematics* by N. Higham, Princeton University Press, 2015.

Articoli divulgativi

- A. Quarteroni and N. P., Quando la matematica va in barca (in Coppa America), in *Matematica e Cultura 2004*, M. Emmer Ed., pp. 207–213, Springer Italia, Milano, 2004.
- N. P., Modellistica matematica per lo sport, *Lettera Matematica Pristem*, 70-71, pp. 63–66, 2009.

Misure in galleria del vento

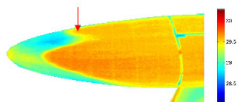
Misure effettuate nella galleria del vento (9mx9m) del NRC di Ottawa (Canada)

- modello in scala ingrandita (1.5:1) delle appendici (per rispettare il numero di Reynolds $Re = \frac{\rho UL}{\mu}$)
- misura delle forze sulle appendici
- analisi termografiche
- **Obiettivo:** raccogliere dati per validare le simulazioni

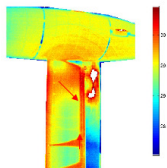
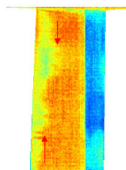


Validazione del modello numerico

Wind Tunnel Thermography

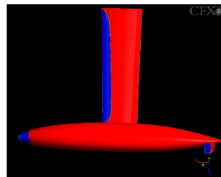


Bulb: 7%-15%



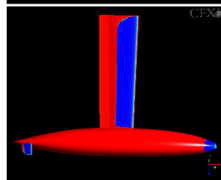
Keel (suction side): 12.5% - 23.5%
Keel (pressure side): 62%

CFD Analysis



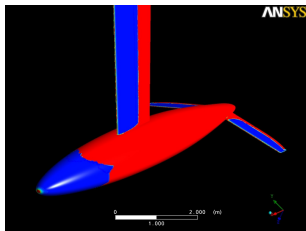
Bulb: 8%

Keel (suction side): 24%
Keel (pressure side): 57%

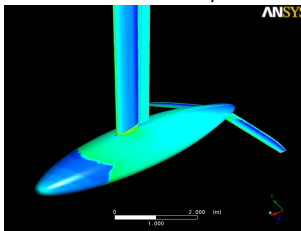


Validazione del modello numerico

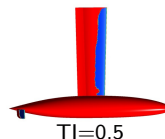
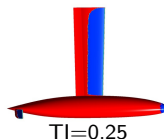
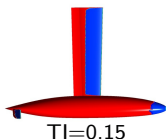
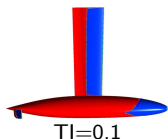
Intermittenza



Sforzo normale a parete



Tl	C_D	Errore	% Lam. Bulbo	% Lam. Chiglia
0.1%	0.0460	16%	18-26%	57%
0.15%	0.0483	12%	6-12%	57%
0.25%	0.0495	10%	5-6%	54%
0.5%	0.0558	1%	2-2.5%	29-36%
Exp.	0.0550		2%	27-30%



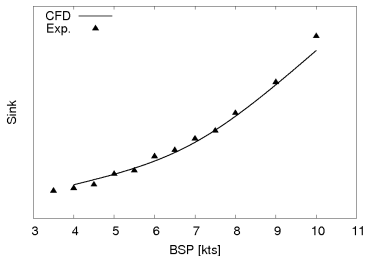
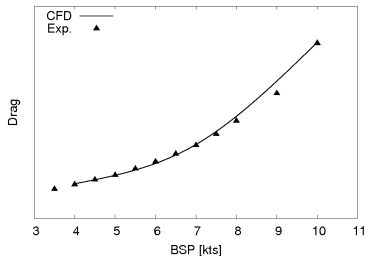
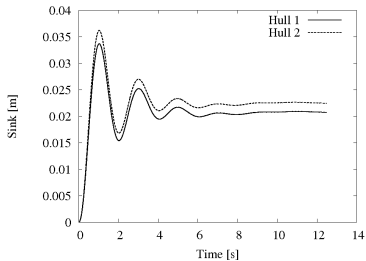
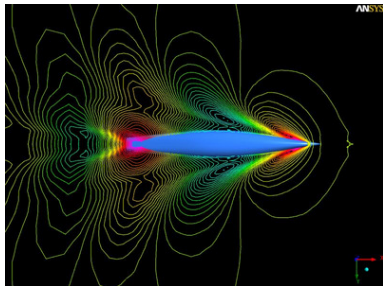
Misure in vasca navale

Misure condotte nella vasca navale (200m) del NRC a St. Johns (Newfoundland, Canada)

- Modello in scala 1:3 (per rispettare il numero di Froude $Fr = \frac{U}{\sqrt{gL}}$)
- Misure di forze e assetto
- Diversi modelli di scafo analizzati



Simulazioni della dinamica dello scafo



Modelli numerici per il nuoto



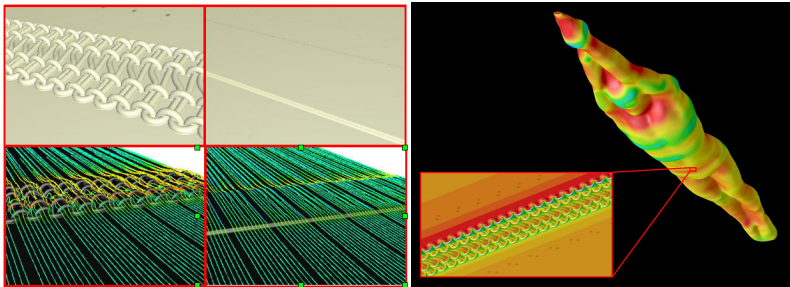
- Da qualche anno, grande sviluppo della tecnologia per i costumi da competizione
- Miglioramento delle prestazioni dovuto a nuovi materiali, tecniche di assemblaggio, analisi sperimentali e numeriche
- Dal 2009, nuovo regolamento (molto restrittivo) della FINA

Collaborazione con Arena

- **2004** - Sviluppo del modello Powerskin Extreme e analisi del comportamento fluidodinamico del nuovo tessuto (A. Veneziani, E. Foa)
- **2008** - Analisi del modello Powerskin R-Evolution per la quantificazione del potenziale guadagno associato alla nuova tecnologia di assemblaggio

Effetto delle cuciture sulla resistenza

- Cuciture rimosse o sostituite con incollaggi (piatti)
- Miglioramento delle prestazioni dovuto alla minore resistenza
- Simulazioni numeriche **locali** (nella regione delle cuciture) e **globali** per la stima della riduzione di resistenza



Cucitura	Drag variation		
	1.8 m/s	2.0 m/s	2.3 m/s
spalle, sost.	0.056 N (0.14%)	0.064 N (0.12%)	0.102 N (0.15%)
schiena, rim.	0.056 N (0.14%)	0.071 N (0.14%)	0.102 N (0.15%)
vita, rim.	0.099 N (0.24%)	0.128 N (0.24%)	0.180 N (0.27%)
inguine, rim.	0.037 N (0.09%)	0.048 N (0.09%)	0.066 N (0.10%)
caviglia, sost..	0.031 N (0.08%)	0.035 N (0.07%)	0.050 N (0.07%)
Totale	0.279 N (0.68%)	0.346 N (0.66%)	0.499 N (0.74%)

Riduzione di resistenza

	Scivolamento [s]	Vasca [s]	Gara [s]
50 m	0.011	0.073	0.073
100 m	0.011	0.077	0.154
200 m	0.012	0.083	0.332
400 m	0.013	0.087	0.696

Miglioramenti sul tempo di gara

- I miglioramenti sul tempo di gara sono calcolati risolvendo una semplice equazione differenziale che descrive la dinamica del nuotatore.

Fare una vasca con un'equazione differenziale

$$\begin{cases} m \frac{d^2 x(t)}{dt^2} = F(t) \\ v(t)|_{t=0} = \frac{dx}{dt}|_{t=0} = 0 \\ x|_{t=0} = 0 \end{cases}$$

Fare una vasca con un'equazione differenziale

$$\begin{cases} m \frac{d^2 x(t)}{dt^2} = F(t) & F(t) = P(t) - D(t) \\ v(t)|_{t=0} = \frac{dx}{dt}|_{t=0} = 0 \\ x|_{t=0} = 0 \end{cases}$$

Fare una vasca con un'equazione differenziale

$$\left\{ \begin{array}{l} m \frac{d^2 x(t)}{dt^2} = F(t) \\ v(t)|_{t=0} = \frac{dx}{dt}|_{t=0} = 0 \\ x|_{t=0} = 0 \end{array} \right.$$

$$F(t) = P(t) - D(t)$$

$$P(t) = A \sin(2\pi ft) \quad (\text{propulsione})$$

Fare una vasca con un'equazione differenziale

$$\left\{ \begin{array}{l} m \frac{d^2 x(t)}{dt^2} = F(t) \\ v(t)|_{t=0} = \frac{dx}{dt}|_{t=0} = 0 \\ x|_{t=0} = 0 \end{array} \right.$$

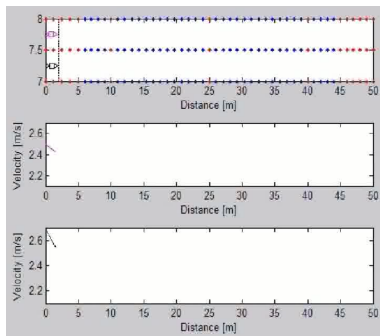
$$F(t) = P(t) - D(t)$$

$$P(t) = A \sin(2\pi ft) \quad (\text{propulsione})$$

$$D(t) = \frac{1}{2} \rho v(t)^2 S C_D \quad (\text{resistenza})$$

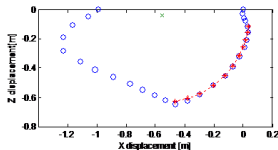
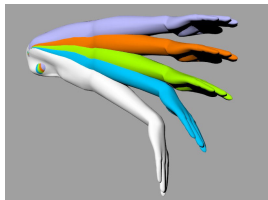
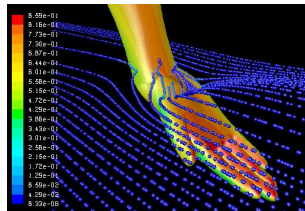
Fare una vasca con un'equazione differenziale

$$\left\{ \begin{array}{l} m \frac{d^2x(t)}{dt^2} = F(t) \\ v(t)|_{t=0} = \frac{dx}{dt}|_{t=0} = 0 \\ x|_{t=0} = 0 \end{array} \right. \quad \begin{array}{l} F(t) = P(t) - D(t) \\ P(t) = A \sin(2\pi ft) \quad (\text{propulsione}) \\ D(t) = \frac{1}{2} \rho v(t)^2 S C_D \quad (\text{resistenza}) \end{array}$$



Analisi della bracciata

- Simulazione di una bracciata per valutare la distribuzione di spinta nel tempo
- Ricostruzione della cinematica della bracciata
- Modelli a singola (spalla) e doppia (spalla+gomito) rotazione



Traiettoria della mano

